

Prowadzący instalację:

P4 Sp. z o. o.
ul. Wynalazek 1
02-677 Warszawa

Katowice, 2024-06-05

Adres do korespondencji:

P4 Sp. z o. o.
ul. Zabrska 17
40-083 Katowice

Prezydent Miasta Rybnik

Przedłożenie informacji o zmianie danych w instalacji

o których mowa w przedłożeniu informacji dla RYB1522A z dnia 2024-01-09

dotyczy: informacji o zmianie w zakresie danych w przedłożeniu informacji dla RYB1522A.

Adres zakładu, na którego terenie prowadzona jest eksploatacja instalacji:

44-203 Rybnik, Brzezińska 8a, gm. Rybnik, pow. Rybnik

Podstawa prawna: ustawa z dnia 27 kwietnia 2001 r. Prawo ochrony środowiska, art. 152, ust 6, pkt 1, lit. c)

Niniejsza informacja zawiera wyłącznie dane, które uległy zmianie.

1) Oznaczenie prowadzącego instalację, jego adres zamieszkania lub siedziby.

Brak zmian.

2) Rodzaj i zakres prowadzonej działalności, w tym wielkość produkcji lub wielkość świadczonych usług.

Usługi telekomunikacyjne, transmisja danych: 1TB/doba.

3) Czas funkcjonowania instalacji (dni tygodnia i godziny).

Brak zmian.

4) Wielkość i rodzaj emisji.

Dane przed zmianą:

L.p.	Nazwa anteny	Wysokość [m n.p.t.]	Rodzaj emisji	Równoważna moc promieniowana izotropowo	Azymut	Kąt pochylenia	Częstotliwość
1	11_V	31,8	PEM	2793 W	100°	0-12°	800 MHz
2	12_H	32,1	PEM	8650 W	100°	0-12°	2600 MHz

3	13_GHLNT	32,1	PEM	1130 W	100°	0-10°	900 MHz
4	13_GHLNT	32,1	PEM	7112 W	100°	0-10°	1800 MHz
5	13_GHLNT	32,1	PEM	7516 W	100°	0-10°	2100 MHz
6	21_V	33,6	PEM	2831 W	200°	0-12°	800 MHz
7	22_H	33,9	PEM	8892 W	200°	0-12°	2600 MHz
8	23_GHLNT	33,9	PEM	1146 W	200°	0-10°	900 MHz
9	23_GHLNT	33,9	PEM	7278 W	200°	0-10°	1800 MHz
10	23_GHLNT	33,9	PEM	7710 W	200°	0-10°	2100 MHz
11	31_V	34,1	PEM	2831 W	340°	0-12°	800 MHz
12	32_H	34,4	PEM	8892 W	340°	0-12°	2600 MHz
13	33_GHLNT	34,4	PEM	1146 W	340°	0-10°	900 MHz
14	33_GHLNT	34,4	PEM	7278 W	340°	0-10°	1800 MHz
15	33_GHLNT	34,4	PEM	7710 W	340°	0-10°	2100 MHz
16	RL1	32,4	PEM	1514 W	0°		80 GHz
17	RL2	32,4	PEM	1778 W	251°		80 GHz

Dane po zmianie:

L.p.	Nazwa anteny	Wysokość [m n.p.t.]	Rodzaj emisji	Równoważna moc promieniowana izotropowo	Azymut	Kąt pochylenia	Częstotliwość
1	11_V	31,8	PEM	2793 W	100°	0-12°	800 MHz
2	12_H	32,1	PEM	8650 W	100°	0-12°	2600 MHz
3	13_GHLNT	32,1	PEM	1130 W	100°	0-10°	900 MHz
4	13_GHLNT	32,1	PEM	7112 W	100°	0-10°	1800 MHz
5	13_GHLNT	32,1	PEM	7516 W	100°	0-10°	2100 MHz
6	14_Y	32,4	PEM	10192 W	100°	-2-13°	3500 MHz
7	21_V	33,6	PEM	2831 W	200°	0-12°	800 MHz
8	22_H	33,9	PEM	8892 W	200°	0-12°	2600 MHz
9	23_GHLNT	33,9	PEM	1146 W	200°	0-10°	900 MHz
10	23_GHLNT	33,9	PEM	7278 W	200°	0-10°	1800 MHz
11	23_GHLNT	33,9	PEM	7710 W	200°	0-10°	2100 MHz
12	24_Y	34,2	PEM	14731 W	200°	-2-13°	3500 MHz
13	31_V	34,1	PEM	2831 W	340°	0-12°	800 MHz
14	32_H	34,4	PEM	8892 W	340°	0-12°	2600 MHz
15	33_GHLNT	34,4	PEM	1146 W	340°	0-10°	900 MHz
16	33_GHLNT	34,4	PEM	7278 W	340°	0-10°	1800 MHz
17	33_GHLNT	34,4	PEM	7710 W	340°	0-10°	2100 MHz
18	34_Y	34,7	PEM	14731 W	340°	-2-13°	3500 MHz
19	RL2	32,4	PEM	1514 W	0°		80 GHz

5) Opis stosowanych metod ograniczania wielkości emisji.

Brak zmian.

6) Informacja, czy stopień ograniczania wielkości emisji jest zgodny z obowiązującymi przepisami.

Stopień ograniczenia wielkości emisji jest zgodny z obowiązującymi przepisami.

7) (uchylony)

-/-

8) Sprawozdanie z wykonanych pomiarów poziomów pól EM, o których mowa w art. 122a ust. 1 pkt 1.*Sprawozdanie nr SP_2024-05-001-11-S_RYB1522A z dnia 2024-05-16, Nr akredytacji PCA – AB 1294.*

Koordynator OŚ

Annamaria Stawowy

kom. -

Podpis jest prawidłowy

Dokument podpisany przez Annamaria Stawowy

Data: 2024.06.05 09:42:53 CEST





AB 1294




LABORATORIUM ANTEO Sp. z o.o.

ul. Chryzantem 23

41-700 Ruda Śląska

e-mail: laboratorium@anteo.pl

SPRAWOZDANIE Z BADAŃ PÓŁ ELEKTROMAGNETYCZNYCH W OTOCZENIU STACJI BAZOWEJ TELEFONII KOMÓRKOWEJ SIECI P4 DLA POTRZEB OCHRONY LUDZI I ŚRODOWISKA

Nr stacji	Miejsce wykonania pomiarów:	Data wykonania pomiarów:	Data wydania sprawozdania:
RYB1522A	44-203 Rybnik, ul. Brzezińska 8a	2024-05-14	2024-05-16
Zleceniodawca:	P4 Sp. z o.o. ul. Wynalazek 1, 02-677 Warszawa		
Nr ewidencyjny sprawozdania:	SP_2024-05-001-11-S_RYB1522A		
Sprawozdanie wykonała:	Sprawdził:	Autoryzował/Data:	
Ewelina Bielica Specjalista ds. dokumentacji	Daniel Kukielka Kierownik laboratorium	 Dokument podpisany przez Daniel Kukielka Data: 2024.05.16 08:49:40 CEST Daniel Kukielka Kierownik laboratorium	

1. Wstęp

Badania wykonano na podstawie umowy z dnia 2018-08-31 pomiędzy firmą **Laboratorium Anteo sp. z o.o., ul. Chryzantem 23/1, 41-700 Ruda Śląska**, a firmą **P4 Sp. z o.o., ul. Wynalazek 1, 02-677 Warszawa**, przekazanej do realizacji laboratorium Anteo.

Sprawozdanie przedstawia wyniki sprawdzenia dotrzymania dopuszczalnych poziomów pól elektromagnetycznych w środowisku w otoczeniu instalacji - stacji bazowej **RYB1522A** będącej obiektem radiokomunikacyjnym P4 Sp. z o.o., w miejscach dostępnych dla ludności w otoczeniu ww. instalacji.

Wyniki pomiarów odnoszą się wyłącznie do istniejącej konfiguracji instalacji antenowej. Każda zmiana konfiguracji o ile zmiana ta może mieć wpływ na zmiany poziomów pól elektromagnetycznych wiąże się z koniecznością wykonania nowego badania

Laboratorium badawcze akredytowane przez PCA, Nr AB1294. Data ważności akredytacji: do 2027-10-27. Zakres wykonywanych przez laboratorium badań podany jest pod adresem www.pca.gov.pl.

Akredytacja Laboratorium w odniesieniu do normy ISO/IEC 17025:2018-02 oznacza spełnienie wymagań dotyczących kompetencji technicznych i systemu zarządzania, koniecznych dla zapewnienia wiarygodnych technicznie wyników badań.

2. Metoda badań

- Załącznik do rozporządzenia Ministra Klimatu z dnia 17 lutego 2020 r. *Sposoby sprawdzania dotrzymywania dopuszczalnych poziomów pól elektromagnetycznych w środowisku* (Dz. U. 2022, poz. 2630).

3. Akty prawne

- Obwieszczenie Ministra Klimatu i Środowiska z dnia 21 listopada 2022 r. w sprawie ogłoszenia jednolitego tekstu rozporządzenia Ministra Klimatu w sprawie sposobów sprawdzania dotrzymywania dopuszczalnych poziomów pól elektromagnetycznych w środowisku (Dz. U. 2022, poz. 2630).
- Rozporządzenie Ministra Zdrowia z dnia 17 grudnia 2019 r. w sprawie dopuszczalnych poziomów pól elektromagnetycznych w środowisku (Dz. U. 2019, poz. 2448).

4. Odstępstwa/ograniczenia i uwarunkowania metody badawczej

Brak odstępstw/ograniczeń metody badawczej.

5. Lokalizacja obiektu badań

Badany obiekt znajduje się w miejscowości 44-203 Rybnik, ul. Brzezińska 8a.
Współrzędne geograficzne obiektu: 18°34'02.50"E, 50°05'35.70"N

6. Opis badania

Badany obiekt jest obiektem radiokomunikacyjnym sieci komórkowej (radiowa stacja bazowa telefonii mobilnej w sieci o przeznaczeniu publicznym). Anteny zainstalowano na dachu budynku. Na obiekcie zainstalowano urządzenia pracujące w pasmach częstotliwości 3500MHz, 2600MHz, 2100MHz, 1800MHz, 900MHz, 800MHz oraz radiolinii 80GHz. Pomiary pól elektromagnetycznych zostały wykonane w szczególności w tych miejscach, w których na podstawie przeprowadzonych obliczeń, stwierdzono występowanie w danych zakresach częstotliwości pól elektromagnetycznych o poziomach zbliżonych do dopuszczalnych. Na kierunku zbliżonym do azymutu anten pomiary wykonano do obliczonej odległości występowania pól elektromagnetycznych o najwyższym poziomie w miejscach dostępnych dla ludności, pochodzących z badanej instalacji. Pomiary wykonano w odległości nie mniejszej niż 0,3 m od urządzeń, obiektów i elementów metalowych.

Wszelkie dane dotyczące źródeł promieniowania (min. wysokość anten, częstotliwość pracy) oraz współrzędne geograficzne obiektu pochodzą od zleceniodawcy.

Badanie zostało przeprowadzone w godz. od 09:30 do 11:00 przez:

Marcin Bieda – Specjalista ds. pomiarów PEM

7. Warunki atmosferyczne

Temperatura powietrza	Przed: 21,0° C	Po: 21,0° C
Wilgotność powietrza	Przed: 38,5%	Po: 38,5%

Brak opadów atmosferycznych w czasie przeprowadzania badania.

Pomiary zostały wykonane przy temperaturze i wilgotności względnej nie wyższej niż dopuszczalna specyfikacja miernika.

8. Parametry techniczne obiektu badań

Parametry techniczne przekazane przez zleceniodawcę.

Tabela nr 1 – Parametry systemu nadawczo – odbiorczego pracującego w paśmie 3500MHz, 2600MHz, 2100MHz, 1800MHz, 900MHz, 800MHz

Tabela nr 2 – Parametry linii radioliniowej

Parametry systemu nadawczo odbiorczego pracującego w paśmie – 3500MHz, 2600MHz, 2100MHz, 1800MHz, 900MHz, 800MHz – tabela 1

Charakterystyka promieniowania				kierunkowa					
Rzeczywisty czas pracy [h/dobę]				Całodobowa 24h					
Warunki pracy				Znamionowe					
Rodzaj wytwarzanego pola				stacjonarne					
Lp.	Typ nadajnika	Antena Producent / Typ	Azymut [°]	Wysokość środka elektr. anteny [m n.p.t.]	Pasmo [Mhz]	Kąt nachylenia [°]	EIRP dla anteny [W]	LON	LAT
1	DBS3xxx/5xxx	Huawei A794516R0	100	31,8	800	0 - 12	2793	18°34'02.50"E	50°05'35.70"N
2	DBS3xxx/5xxx	Huawei ATR4518R6	100	32,1	900	0 - 10	15758	18°34'02.50"E	50°05'35.70"N
	DBS3xxx/5xxx				1800	0 - 10		18°34'02.50"E	50°05'35.70"N
	DBS3xxx/5xxx				2100	0 - 10		18°34'02.50"E	50°05'35.70"N
3	DBS3xxx/5xxx	Huawei ADU4518R6	100	32,1	2600	0 - 12	8650	18°34'02.50"E	50°05'35.70"N
4	DBS3xxx/5xxx	Huawei AAU5339w	100	32,4	3500	-2 - 13	10192	18°34'02.50"E	50°05'35.70"N
5	DBS3xxx/5xxx	Huawei A794516R0	200	33,6	800	0 - 12	2831	18°34'01.00"E	50°05'35.20"N
6	DBS3xxx/5xxx	Huawei ATR4518R6	200	33,9	900	0 - 10	16134	18°34'01.00"E	50°05'35.20"N
	DBS3xxx/5xxx				1800	0 - 10		18°34'01.00"E	50°05'35.20"N
	DBS3xxx/5xxx				2100	0 - 10		18°34'01.00"E	50°05'35.20"N
7	DBS3xxx/5xxx	Huawei ADU4518R6	200	33,9	2600	0 - 12	8892	18°34'01.00"E	50°05'35.20"N
8	DBS3xxx/5xxx	Huawei AAU5339w	200	34,2	3500	-2 - 13	14731	18°34'01.00"E	50°05'35.20"N
9	DBS3xxx/5xxx	Huawei A794516R0	340	34,1	800	0 - 12	2831	18°34'00.30"E	50°05'35.70"N
10	DBS3xxx/5xxx	Huawei ATR4518R6	340	34,4	900	0 - 10	16134	18°34'02.50"E	50°05'35.70"N
	DBS3xxx/5xxx				1800	0 - 10		18°34'02.50"E	50°05'35.70"N
	DBS3xxx/5xxx				2100	0 - 10		18°34'02.50"E	50°05'35.70"N
11	DBS3xxx/5xxx	Huawei ADU4518R6	340	34,4	2600	0 - 12	8892	18°34'00.30"E	50°05'35.70"N
12	DBS3xxx/5xxx	Huawei AAU5339w	340	34,7	3500	-2 - 13	14731	18°34'01.00"E	50°05'35.35"N

Parametry systemu nadawczo – odbiorczego linii radioliniowej – Tabela nr 2

Charakterystyka promieniowania				kierunkowa					
Rzeczywisty czas pracy [h/dobę]				24					
Rodzaj wytwarzanego pola				stacjonarne					
Linia radiowa				Antena					
L p.	Typ nadajnika	Częstotliwość pracy [GHz]	Moc wyjściowa [dBm]	Typ/prod ucent	Średnica anteny [m]	Azym ut [°]	Wysokość zainstal. [m]	LON	LAT
1	OPTIX RTN/HUAWE I	80	18	0.3-80(A80S03)	0,3	0	32,4	18°34'01.02"E	50°05'35.34"N

9. Sposób identyfikacji pola elektromagnetycznego

Niezbędnych informacji na temat źródeł pól udzielił Specjalista ds. Administracji Projektu P4 Sp. z o.o., który nie brał udziału w badaniach. Identyfikację źródeł i parametrów technicznych wykonano na podstawie analizy przekazanej ze zleceniem dokumentacji oraz obserwacji w miejscu wykonywania badań.

Z informacji zlecniodawcy wynika, że podczas badania anteny użytkownika o sterowanych wiązkach zostały ustawione w sposób opisany zgodnie z punktem 13 ppkt.2 załącznika do rozporządzenia Ministra Klimatu z dnia 17 lutego 2020 r. (Dz. U. 2022 poz. 2630).

10. Opis terenu

Stacja bazowa telefonii komórkowej sieci P4 Sp. z o.o. RYB1522A zlokalizowana jest na dachu budynku w miejscowości 44-203 Rybnik, ul. Brzezińska 8a. Anteny sektorowe są zainstalowane na wysokości 31,8m, 32,1m, 32,4m, 33,6m, 33,9m, 34,1m, 34,2m, 34,4m, 34,7m n. p. t. Urządzenia nadawczo – odbiorcze znajdują się w szafach, które umieszczone są na dachu. Bezpośrednim sąsiedztwem stacji są tereny przemysłowe, użyteczności publicznej oraz zabudowa mieszkaniowa.

W badanym środowisku zidentyfikowano urządzenia innych operatorów mogące mieć wpływ na wyniki mierzonego pola EM. Pomiary zostały przeprowadzone jako szerokopasmowe w danym zakresie częstotliwości, w związku z tym uwzględniają grupy instalacji/urządzeń emitujących pola EM o poziomach najwyższych w danym zakresie częstotliwości.

11. Sprzęt pomiarowy

Tabela nr 3 – Sprzęt pomiarowy

Lp.	Nazwa i typ urządzenia	Numer identyfikacyjny
1.	Zestaw pomiarowy NARDA NBM-520 wraz z sondą EF9091*	2403/01B D-2211 2402/18B A-0148
2.	Zestaw pomiarowy NARDA NBM-520 wraz z sondą EF0691*	2403/01B D-2211 2402/14B H-1142
3.	Termohigrometr UNI-T UT333	C221221326
4.	Dalmierz laserowy GLM 250 VF	209147077

*Zestaw pomiarowy przed wykonaniem pomiarów został sprawdzony za pomocą uniwersalnego testera sond UTEST-7

Tabela nr 4 – Szerokopasmowe mierniki pola elektromagnetycznego

Lp.	Nazwa i typ urządzenia	Zakres pomiarowy	Numer świadectwa wzorcowania	Data następnego wzorcowania
1.	Miernik Narda NBM-520	Zależny od sondy	LWiPM/W/404/23**	2025-11-08
2.	Sonda Narda EF9091	0,56 – 320V/m 80MHz – 90GHz	LWiPM/W/404/23**	2025-11-08
3.	Sonda Narda EF0691	0,58 – 540V/m 0,1MHz – 6GHz	LWiPM/W/404/23**	2025-11-08

**LWiPM – Laboratorium Wzorców i Metrologii Pola Elektromagnetycznego, Instytut Telekomunikacji, Teleinformatyki i Akustyki, Politechnika Wrocławska

Tabela nr 5 – Sprzęt uzupełniający

Lp.	Nazwa i typ urządzenia	Zakres pomiarowy	Numer świadectwa wzorcowania	Data następnego sprawdzenia
1.	Termohigrometr UNI-T UT333	-20 ÷ +60°C 0 – 100%RH	466-1223/23***	2024-07-15
2.	Dalmierz laserowy Bosch GLM 250 VF	0,05 – 250m	215.1-M11-4180-116/13****	2024-06-21
3.	Urządzenie GPS GPSMAP 62ST	-	-	2024-09-09

***Laboratorium Pomiarowe INTROL

****Zakład Długości Kąta GUM

12. Wyniki badań

Tabela nr 6 – Wartości natężenia pola elektrycznego i magnetycznego

Nr pionu	Opis miejsca pomiaru	Zmierzona wartość natężenie pola ² E [V/m]	Natężenie pola ³ E [V/m]	Natężenie pola ⁴ H [A/m]	Wysokość Pomiaru ⁵ [m]	Współrzędne geograficzne pionu	Wartości WME ⁶	Wartości WMH ⁶
1	¹ GKP 100°, parking	2,7	3,3	0,009	1,85	50.09315 18.56790	0,12	0,12
2	GKP 200°, przy budynku, nieużytki	1,8	2,2	0,006	1,90	50.09285 18.56701	0,08	0,08
3	¹ PKP 265°, przy budynku gabinetu weterynaryjnego	1,5	1,8	0,005	2,00	50.09310 18.56617	0,07	0,07
4	PKP 225°, przy hali Tesko Steel	1,9	2,3	0,006	1,90	50.09254 18.56638	0,08	0,08
5	DPP, budynek biurowy firmy Marat, II piętro, okno	3,9	4,8	0,013	1,80	-	0,17	0,17
6	GKP 200°, przy hali Tesko Steel	3,6	4,4	0,012	1,90	50.09119 18.56605	0,16	0,16
7	GKP 200°, droga	2,6	3,2	0,008	1,90	50.09094 18.56590	0,11	0,12
8	PKP 180°, parking firmy Marat	1,3	1,6	0,004	1,80	50.09240 18.56740	0,06	0,06
9	PKP 134°, parking firmy Marat	1,9	2,3	0,006	1,95	50.09283 18.56834	0,08	0,08
10	PKP 122°, droga dojazdowa	2,2	2,7	0,007	1,90	50.09296 18.56843	0,10	0,10
11	DPP, w płaszczyźnie otworu okiennego, ul. Brzezińska	1,9	2,3	0,006	1,70	-	0,08	0,08
12	GKP 100°, przy budynku, ul. Brzezińska 4	2,1	2,6	0,007	1,80	50.09310 18.56854	0,09	0,09
13	PKP 94°, przy budynku, ul. Żorska 38	1,9	2,3	0,006	1,90	50.09326 18.56851	0,08	0,08
14	PKP 82°, parking, ul. Żorska 38	1,7	2,1	0,006	1,80	50.09334 18.56844	0,07	0,08
15	DPP, I piętro, balkon, ul. Brzezińska 3	2,2	2,7	0,007	1,75	-	0,10	0,10
16	GKP 100°, parking	1,6	2,0	0,005	1,80	50.09302 18.56993	0,07	0,07
17	GKP 100°, chodnik, ul. Żorska 50	*0,7	0,9	0,002	0,3-2,00	50.09277 18.57099	0,03	0,03
18	DPP, taras, ul. Żorska 34	1,9	2,3	0,006	1,80	-	0,08	0,08
19	PKP 3°, przy budynku, ul. Żorska 32	1,6	2,0	0,005	1,90	50.09347 18.56740	0,07	0,07
20	PKP 359°, przy budynku, ul. Żorska 30	1,4	1,7	0,005	1,85	50.09351 18.56703	0,06	0,06
21	DPP, taras, ul. Żorska 28	1,8	2,2	0,006	1,70	-	0,08	0,08
22	GKP 340°, przy budynku, ul. Żorska 28	1,6	2,0	0,005	1,90	50.09360 18.56679	0,07	0,07
23	GKP 340°, chodnik, ul. Żorska	*0,7	0,9	0,002	0,3-2,00	50.09387 18.56663	0,03	0,03

24	PKP 328°, teren zieleni, ul. Żorska 26	*0,7	0,9	0,002	0,3-2,00	50.09383 18.56643	0,03	0,03
25	PKP 298°, teren zieleni, ul. Żorska 26	*0,7	0,9	0,002	0,3-2,00	50.09381 18.56627	0,03	0,03
26	PKP 306°, przy budynku, ul. Żorska 26	1,5	1,8	0,005	1,85	50.09361 18.56623	0,07	0,07
27	GKP 340°, przy salonie samochodowym Skoda	1,8	2,2	0,006	1,90	50.09423 18.56647	0,08	0,08
28	PKP 0°, chodnik, ul. Żorska	1,5	1,8	0,005	1,80	50.09381 18.56758	0,07	0,07
29	PKP 356°, chodnik, ul. Żorska	1,3	1,6	0,004	1,85	50.09382 18.56694	0,06	0,06
30	GKP 340°, przy domu, ul. Słowackiego 15c	1,1	1,4	0,004	1,85	50.09519 18.56602	0,05	0,05

* wynik spoza zakresu akredytacji - przy wskazaniach sondy poniżej dolnego zakresu akredytacji dla punktu pomiarowego, przyjęto do obliczeń wyniku skorygowanego wartość skorelowaną z rzeczywistym wynikiem pomiaru tj. dolną granicę akredytowanego zakresu pomiarowego metody 0,7 V/m.

1 - GKP – Główny Kierunek Pomiarowy, PKP- Pomocniczy kierunek pomiarowy, DPP – Dodatkowy pion pomiarowy

2 – wynik pomiaru, z uwzględnieniem współczynników Cf (charakterystyka częstotliwościowa) i Cd (charakterystyka dynamiczna).

3 - wynik pomiaru natężenia skutecznego pola elektromagnetycznego powiększony o niepewności pomiaru. Wartość chwilowa, zgodnie z pkt. 11 załącznika do rozporządzenia Ministra Klimatu z dnia 17 lutego 2020 r. (Dz. U. 2022 poz. 2630).

4 - wartość wyznaczona na podstawie pomiaru wartości skutecznej natężenia pola elektrycznego, z uwzględnieniem niepewności pomiaru, dla pomiarów wykonanych od źródła pól elektromagnetycznych, z zależności opisanej w pkt.3 załącznika do rozporządzenia Ministra Klimatu z dnia 17 lutego 2020 r. (Dz. U. 2022 poz.2630).

5- wysokość liczona jest od poziomu podłoża, gruntu

6 - wartości wskaźnikowe zgodnie z pkt.25 ppkt.1 załącznika do rozporządzenia Ministra Klimatu z dnia 17 lutego 2020 r. (Dz. U. 2022 poz.2630):

$$WM_E = \frac{E}{\min(ME_{gr})}$$

$$WM_H = \frac{H}{\min(MH_{gr})}$$

gdzie:

WME (WMH) – oznacza wartość wskaźnikową poziomu emisji pól elektromagnetycznych dla miejsc dostępnych dla ludności dla składowej elektrycznej (magnetycznej) pola,

E (H) – oznacza zmierzona wartość skuteczną natężenia pola elektrycznego E, wyrażoną w V/m, (natężenia pola magnetycznego H, wyrażonego w A/m), uśrednioną w sposób określony w przepisach wydanych na podstawie art. 122 ust. 1 ustawy z dnia 27 kwietnia 2001 r. – Prawo ochrony środowiska lub zgodnie z pkt. 11 załącznika do rozporządzenia Ministra Klimatu z dnia 17 lutego 2020 r. (Dz. U. 2022 poz. 2630).

min(ME_{gr}), (min MH_{gr}) – oznacza najniższą dopuszczalną wartość składowej elektrycznej (magnetycznej) pola dla objętego pomiarami zakresu częstotliwości dla miejsc dostępnych dla ludności określoną w przepisach wydanych na podstawie art. 122 ust. 1 ustawy z dnia 27 kwietnia 2001 r. – Prawo ochrony środowiska wyrażoną w V/m rozporządzeniem Min. Zdrowia z 17 grudnia 2019 roku Dz.U 2019 poz.2448.

Oszacowana niepewność rozszerzona przeprowadzonych pomiarów natężenia pola elektromagnetycznego nie przekracza 23,0 % (niepewność rozszerzona przy prawdopodobieństwie rozszerzenia ok.95% i współczynniku k=2).

Badanie wykonywano metodą dwóch sond szerokopasmowych opisaną w dokumencie Z7.4.5 Ocena możliwości realizacji metody badawczej wydanie z 2022-06-10 W każdym z pionów pomiarowych sprawdzono i wykluczono udział promieniowania radiolinii w badanym widmie, korzystając z w/w metody.

W czasie badania wykonano pomiar kontrolny. Zmienność poziomu pola elektromagnetycznego w pkt. 6 referencyjnych została uwzględniona w niepewności pomiarów.

13. Podsumowanie

Dopuszczalny poziom promieniowania, dla poszczególnych zakresów częstotliwości, charakteryzują parametry fizyczne określone w załączniku do Rozporządzenia Ministra Zdrowia z dnia 17 grudnia 2019 r. w sprawie dopuszczalnych poziomów pól elektromagnetycznych w środowisku (Dz. U. 2019, poz. 2448) – tabela nr 7.

Tabela nr 7 – Dopuszczalne poziomy pól elektromagnetycznych dla miejsc dostępnych dla ludności.

Zakres częstotliwości pola elektromagnetycznego	Składowa elektryczna E (V/m)	Składowa magnetyczna H (A/m)	Gęstość mocy S (W/m ²)
0 Hz	10000	2500	ND
Od 0 Hz do 0,5 Hz	ND	2500	ND
Od 0,5 Hz do 50 Hz	10000	60	ND
Od 0,05 Hz do 1 kHz	ND	3 / f	ND
Od 1 kHz do 3 kHz	250 / f	5	ND

Od 3 kHz do 150 kHz	87	5	ND
Od 0,15 MHz do 1 MHz	87	0,73 / f	ND
Od 1 MHz do 10 MHz	$87 / f^{0,5}$	0,73 / f	ND
Od 10 MHz do 400 MHz	28	0,073	2
Od 400 MHz do 2000 MHz	$1,375 \times f^{0,5}$	$0,0037 \times f^{0,5}$	f / 200
Od 2 GHz do 300 GHz	61	0,16	10

Podczas badania przyjęto, jako wartości dopuszczalną poziomu pola elektromagnetycznego w środowisku wartość 2 W/m² (28 V/m), tj. wartość dopuszczalną dla dolnego zakresu pasma 400MHz - 2000MHz.

Pomiary wykonano dla średniego kąta pochylenia wiązki. Przeprowadzone badania w środowisku, w obszarze pomiarowym, w otoczeniu badanej stacji bazowej, w zmierzonych pionach pomiarowych, nie wykazały przekroczenia 60% wartości dopuszczalnych poziomów pól elektromagnetycznych. W związku z tym nie wymagane są dodatkowe pomiary dla największego i najmniejszego stosowanego lub planowanego kąta pochylenia wiązki, zgodnie z pkt 13. ppkt. 2 załącznika do rozporządzenia Ministra Klimatu z dnia 17 lutego 2020 r. (Dz. U. 2022 poz. 2630). Zgodnie z pkt 25 rozporządzenia Ministra Klimatu z dnia 17 lutego 2020 r. (Dz. U. 2022 poz. 2630), nie jest wymagane wykonanie pomiaru miernikiem selektywnym.

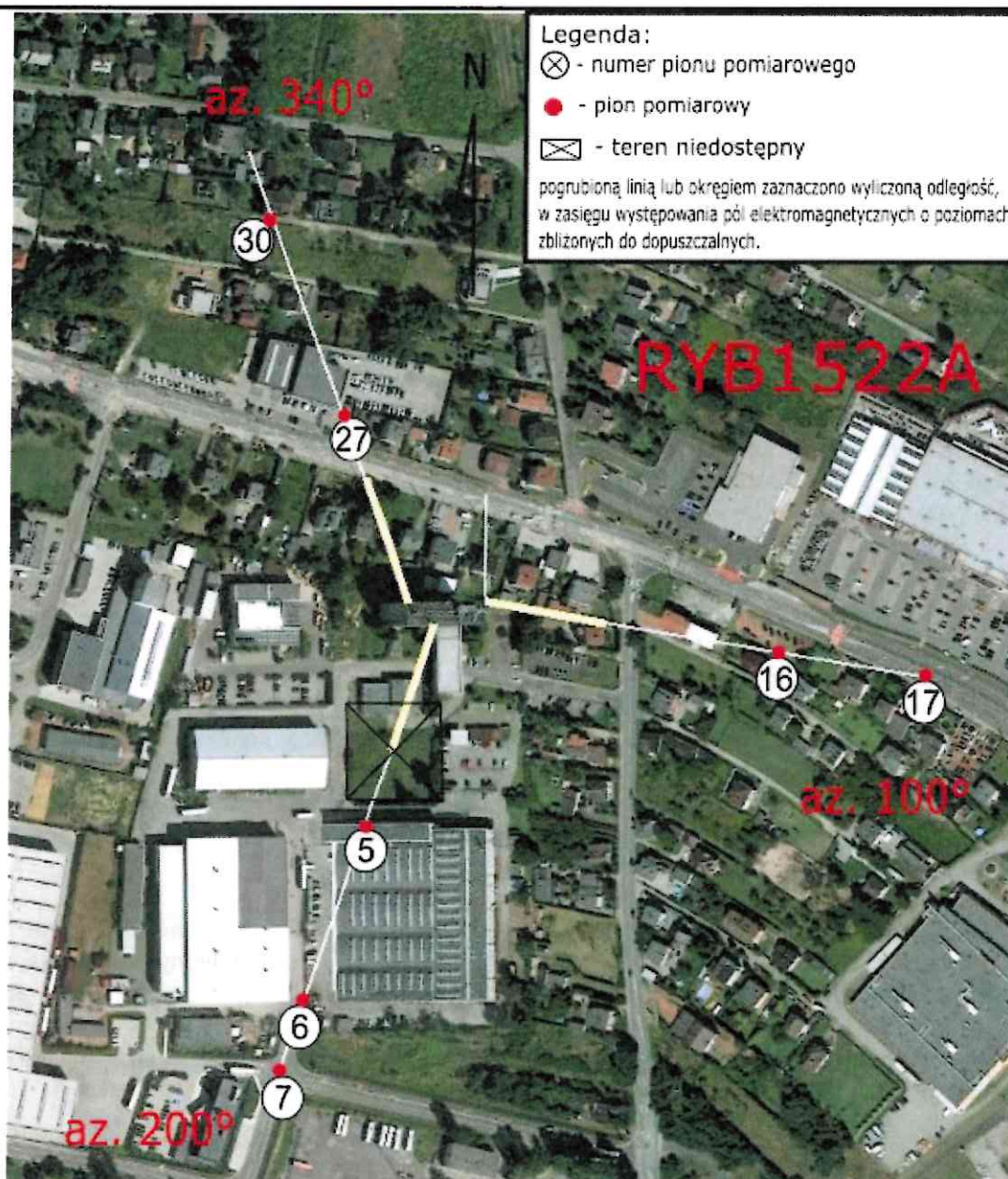
Stwierdzenie zgodności:

Na podstawie wytycznych wskazanych w obwieszczeniu Ministra Klimatu i Środowiska z dnia 21 listopada 2022 r. w sprawie ogłoszenia jednolitego tekstu rozporządzenia Ministra Klimatu w sprawie sposobów sprawdzania dotrzymywania dopuszczalnych poziomów pól elektromagnetycznych w środowisku (Dz. U. 2022, poz. 2630) oraz na podstawie otrzymanych wyników pomiarów i informacji uzyskanych od klienta, stwierdzono iż w miejscach dostępnych dla ludności do których uzyskano dostęp, w żadnym punkcie/pionie pomiarowym, w środowisku wokół stacji bazowej **RYB1522A** nie występują przekroczenia dopuszczalnych poziomów pól elektromagnetycznych, określonych w tabeli nr 7, w badanym zakresie pomiarowym od 400MHz do 90 GHz.

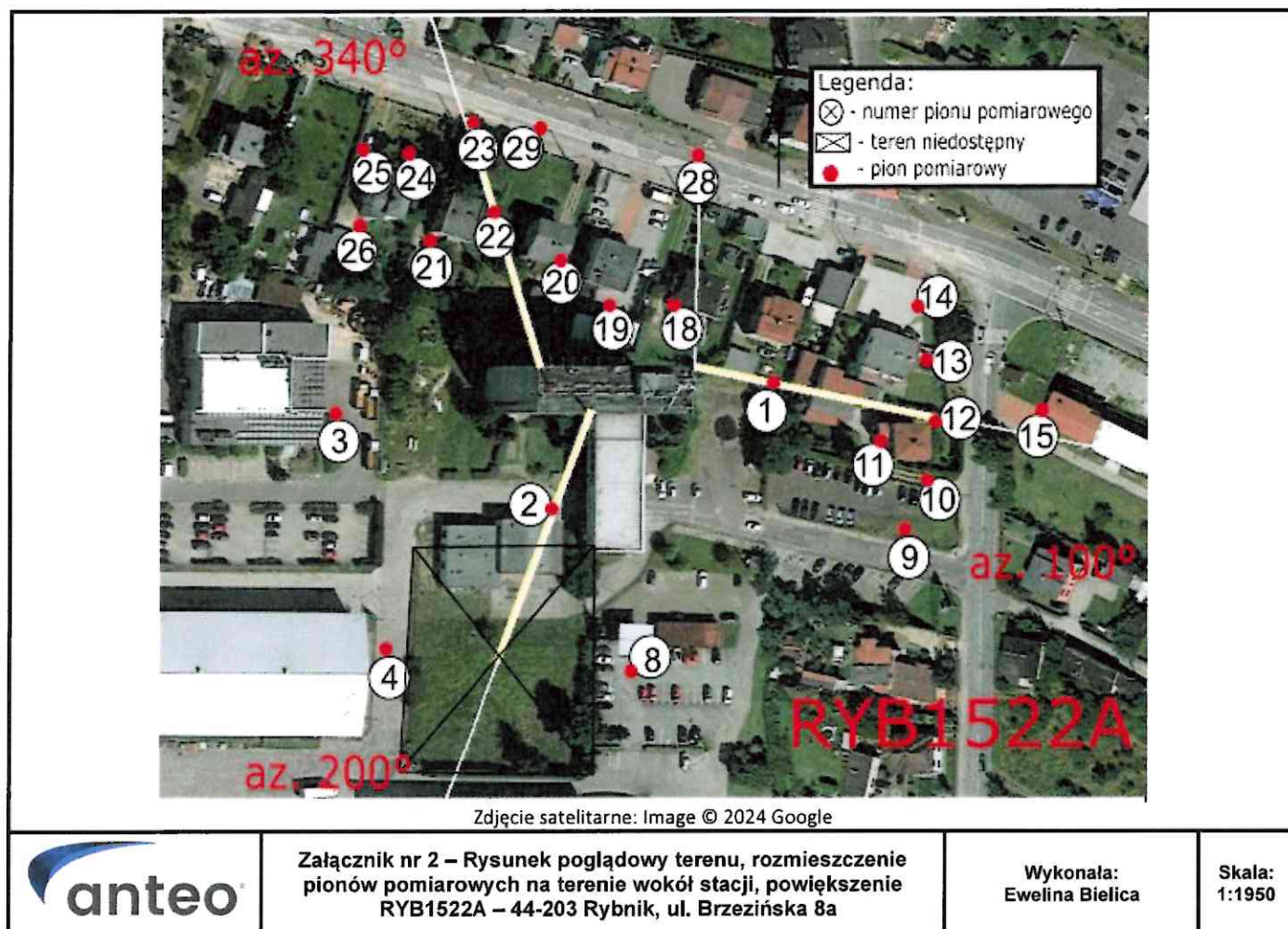
Dopuszczalne poziomy pól elektromagnetycznych w środowisku określone w przepisach wydanych na podstawie art.122 ust. 1 ustawy z dnia 27 kwietnia 2001 r. – Prawo ochrony środowiska uznaje się za dotrzymane w badanym obszarze pomiarowym, w zmierzonych pionach pomiarowych, gdyż w wyniku zastosowania sprawdzenia dotrzymywania dopuszczalnych poziomów pól elektromagnetycznych w środowisku, o którym mowa w pkt. 25 ppkt.1 i pkt. 26 (załącznika do rozporządzenia Ministra Klimatu z dnia 17 lutego 2020 r. Dz. U. 2022 poz. 2630), żadna z wartości wskaźnikowych nie przekracza 1.

14. Załączniki

Załącznik nr 1 – Rysunek poglądowy terenu, rozmieszczenie pionów pomiarowych na terenie wokół stacji
 Załącznik nr 2 – Rysunek poglądowy terenu, rozmieszczenie pionów pomiarowych na terenie wokół stacji, powiększenie



Zdjęcie satelitarne: Image © 2024 Google



Koniec sprawozdania